

II-57 非線型流出系における流出核の計算

東京工学大学大学院 学員 ○ 鈴木 勉
 ノ 工学部 正員 日野 幹雄
 ノ 正員 吉川 千夫

<序>

現在、降雨一流出現象を把握するのに2つの考え方がある。一つは運動の法則、連續の法則を基にして、流出現象を物理現象として考える考え方であり、一つは流出現象を $B/a \propto k - B \propto x$ 的に考える考え方である。この研究は $B/a \propto k - B \propto x$ 的立場に属し、新しい非線型確率過程理論により、不規則な水文資料から客観的に出来ただけ多くの情報を得、流出系の非線型特性を解明しようとしたものである。

<Wienerの非線型確率理論>

非線型系への入力を White Noise であるとし、これを $x(t, \alpha)$ とする。このとき非線型系からの出力 $y(t, \alpha)$ は

$$y(t, \alpha) = \sum_{m=0}^{\infty} G_m [K_m(t + \tau_1, \dots, t + \tau_m), \alpha]$$

と表わされる。ここに、 K_m は非線型核、 G_m は直交函数を示すものである。 $x(t, \alpha)$ と $y(t, \alpha)$ より非線型流出核を求めることが重要である。そこで既知の非線型系に同じ入力 $x(t, \alpha)$ を入力すると、出力 $y_R(t, \alpha)$ は

$$y_R(t, \alpha) = \sum_{n=0}^{\infty} G_n [H_n(t + \tau_1, \dots, t + \tau_n), \alpha]$$

と表わされる。

$y(t, \alpha)$ と $y_R(t, \alpha)$ の積 $r(t, \alpha)$ をとると

$$r(t, \alpha) = \sum_{m=0}^{\infty} \sum_{n=0}^{\infty} G_m [K_m(t + \tau_1, \dots, t + \tau_m), \alpha] \\ \cdot G_n [H_n(t + \tau_1, \dots, t + \tau_n), \alpha]$$

となる。 G_m 、 G_n は直交函数だから

$$G_m(K_m, \alpha) \cdot G_n(H_n, \alpha) = 0 \quad \text{for } m \neq n$$

が成り立つ。そうすると

$$\lim_{T \rightarrow \infty} \frac{1}{2T} \int_{-T}^T r(t, \alpha) dt = \sum_{n=0}^{\infty} n! \int_{-\infty}^{\infty} \int_{-\infty}^{\infty} K_m(\tau_1, \dots, \tau_m) \\ \cdot H_n(\tau_1, \dots, \tau_n) d\tau_1 \dots d\tau_n$$

が得られる。

既知の非線型系を適当に選んで、順次この非線型性を高次のものとすれば、次々に非線型核 K_m を求めることができることが出来る。この既知の非線型系として、(図-1)、(図-2) のような遅延回路をとることにする。ここに(図-1)、(図-2) はそれぞれ1次と2次の非線型系を表す。

この遅延回路を(図-3),(図-4)の如く並列にとてて考える。一次の場合、二次の場合の出力 $y_1(t)$, $y_2(t)$ は次のようになる。

$$y_1(t) = \int_{-\infty}^{\infty} \delta(\tau - \sigma) \cdot x(t - \tau) d\tau$$

$$= x(t - \sigma)$$

$$y_2(t) = \int_{-\infty}^{\infty} \int_{-\infty}^{\infty} \delta(\tau_1 - \sigma_1) \cdot \delta(\tau_2 - \sigma_2)$$

$$\cdot x(t - \tau_1) \cdot x(t - \tau_2) d\tau_1 \cdot d\tau_2$$

$$= x(t - \sigma_1) \cdot x(t - \sigma_2)$$

ここに、 δ は Dirac の δ 関数である。

未知の非線型回路からの出力 $y(t)$ と、遅延回路からの出力 $y_1(t)$, $y_2(t)$ との積の平均をそれぞれについて求めよ。

$$y(t) \cdot y_1(t)$$

$$= \int_{-\infty}^{\infty} K_1(\tau_1) k \delta(\sigma - \tau_1) d\tau_1$$

$$= k \cdot K_1(\sigma)$$

$$y(t) \cdot y_2(t)$$

$$= 2k^2 K_2(\sigma_1, \sigma_2) + k_0 k \delta(\sigma_1 - \sigma_2)$$

ここに、 $k_0 = y(t)$, $k = x^2(t)$

従って、非線型の一次と二次の核はそれを次のように求まる。

$$K_1(\sigma)$$

$$= \frac{1}{k} y(t) \cdot y_1(t)$$

$$= \frac{1}{k} y(t) \cdot x(t - \sigma)$$

$$K_2(\sigma_1, \sigma_2)$$

$$= \frac{1}{2 \cdot k^2} y(t) \cdot y_2(t)$$

$$= \frac{1}{2 \cdot k^2} y(t) \cdot x(t - \sigma_1) \cdot x(t - \sigma_2)$$

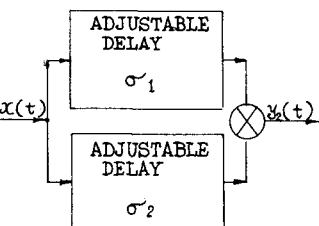


図-1

図-2

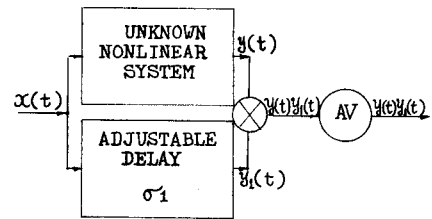


図-3

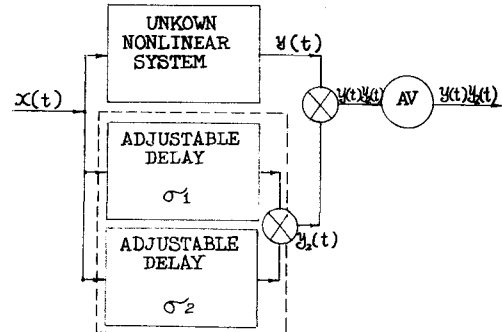


図-4

$$(\sigma_1 \neq \sigma_2)$$

すなわち、二重相関、三重相関を求めてことにより、一次および二次の非線型核が求められる。

< 流出の非線型予測 >

上記 "Wiener の理論" により、非線型予測を行なう。実測水文資料から、二重相関、三重相関を求め、さらに上式より流出の非線型核 $K_1(\sigma)$, $K_2(\sigma_1, \sigma_2)$ を求める。そうすると、予測は次式にて求められる。

$$y_{\text{pre}}(t) = \int_{-\infty}^{\infty} \int_{-\infty}^{\infty} K_2(\tau_1, \tau_2) \cdot x(t - \tau_1) \cdot x(t - \tau_2) d\tau_1 \cdot d\tau_2$$

$$- k \int_{-\infty}^{\infty} K_2(\tau_2, \tau_2) d\tau_2 + \int_{-\infty}^{\infty} K_1(\tau_1) x(t - \tau_1) d\tau_1$$

解 析

データとしては、利根川支流の神前川の日降雨、日流量の資料を用いることにする。十数年間の資料をAグループ(昭27, 28, 29), Bグループ(昭30, 31, 32), Cグループ(昭33, 34, 35)の三つのグループに分ける。Aグループは弱降雨型、Bグループは中降雨型、Cグループは強降雨型に相当している。そして、A, B, Cの順に非線型要素が強くなっている。ここでは非線型性の強いCグループについて、計算結果の一例を示すことにする。

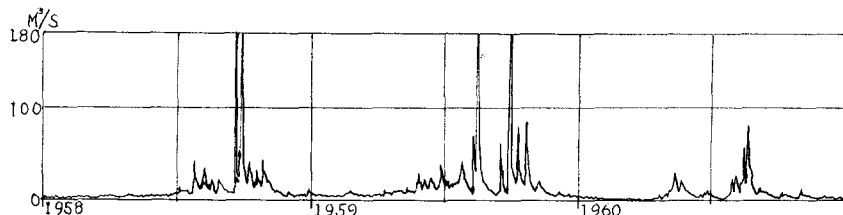


図-5 Stream flow of the river Kannagawa at the gaging station Wakaizumi
by Takenchi and others, Hydrological Laboratory, Public Works Research
Institute, The Ministry of Construction

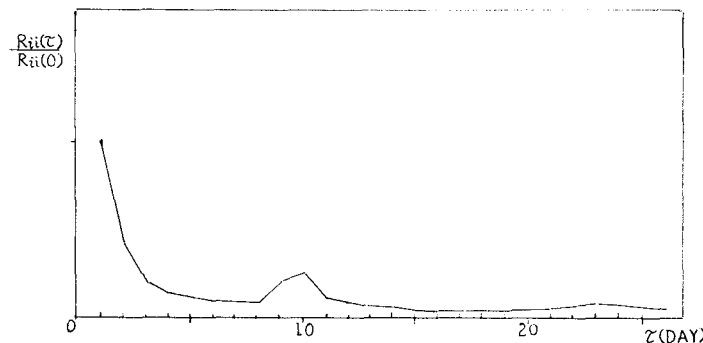


図-6 Auto-correlation coefficients of daily rainfall at the Kannagawa basin

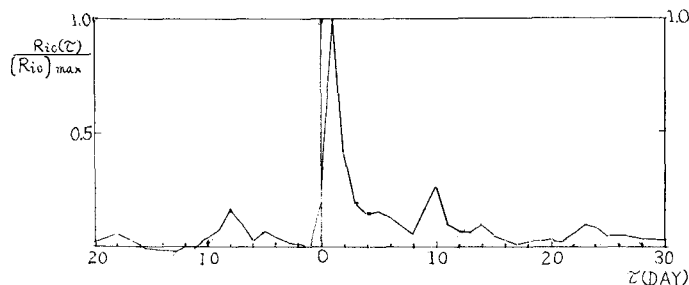


図-7 Double-correlation coefficients of daily rainfall and runoff

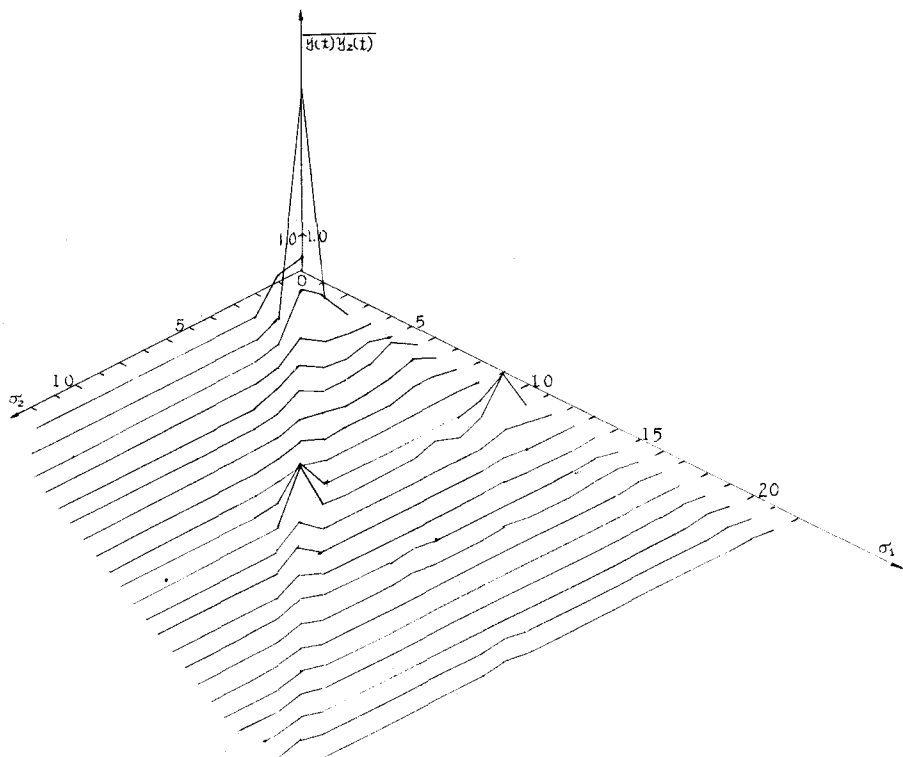


図-8

Triple-correlation coefficients of daily rainfall and runoff

(図-6)の自己相関より、日降雨のスケールで流出現象を見ると、日降雨の自己相関はほぼδ函数とみなされ、降雨はWhite-Noiseであるとみなされる。(図-7)の相関図より、流出は1日遅れてPeakに達し、表面流出は1, 2日で終り、中向流域、滲透流出が1~2ヶ月続いていることがわかる。神流川の日降雨と日流量について、三重相関を求めた結果が(図-8)である。但し、図は $\sigma_1 \geq 0$, $\sigma_2 \geq 0$ の範囲についてのものである。